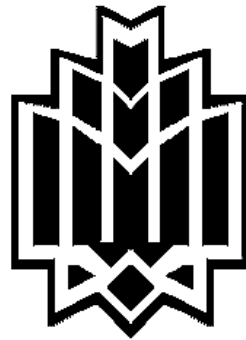


بِسْمِ اللّٰهِ الرَّحْمٰنِ الرَّحِيْمِ



دانشگاه تربیت معلم

دانشکده علوم

گروه زیستشناسی

پایان نامه کارشناسی ارشد رشته سلولی-تکوینی جانوری

بررسی اثر زهر زنبور عسل بر بیان سیکلوواکسیژنаз دو در سندروم تخدمان
پلی کیستیک القا شده در موش رت نژاد ویستان

استاد راهنما:

دکتر محمد نبیونی

استاد مشاور:

دکتر کاظم پریور

دکتر بهمن زینلی

تهییه و تنظیم:

لطیفه کریم زاده باردی

تیرماه 1390

چکیده

سندروم تخمدان پلی کیستیک (PCOS) اختلال سیستم تولید مثلی و نارسایی اندوکرینی است که با رشد سریع اولیه فولیکولی و عدم انتخاب یک فولیکول غالب از ذخیره‌ی افزایش یافته‌ی فولیکولی، هایپراندروژنیسم، افزایش آنژیوژن، جریان خون تخمدانی و متعاقباً عدم تخمک گذاری مزمن همراه است. این سندروم همچنین به عنوان یک بیماری التهابی با افزایش سطح سیتوکین‌ها و نیز افزایش CRP سرم معرفی شده است. نظر به اثرات آنژیوژنیک سیکلواکسیژناز 2 (COX-2) و نیز با توجه به اثرات مهاری زهر زنبور عسل (HBV) بر آنژیوژن پاتولوژیک و بیماری‌های التهابی مانند آرتربیت روماتوئید، در این تحقیق تلاش گردید اثرات زهر زنبور عسل بر بیان COX-2 در لایه‌های مختلف فولیکول‌های تخمدانی بررسی گردد. بدین منظور تعدادی رت بالغ نژاد ویستار (Wistar) که از نظر سیکل استروس دارای سه دوره سیکل منظم استروس بودند انتخاب شده و به دو گروه کنترل (Cont) و گروه مبتلا به PCOS القا شده با استرادیول ولرات (EV) تقسیم گردیدند. به گروه EV دو میلی گرم استرادیول ولرات (شرکت داروسازی ابوریحان) بصورت زیر پوستی و تک مرحله‌ای تزریق شد. پس از گذشت 60 روز و اطمینان از القای سندروم در رت‌ها با استفاده از بررسی‌های هیستولوژیک، رت‌ها به عنوان گروه پلی کیستیک تیمار شده با زهر زنبور عسل (HBV) به مدت 10 روز متوالی تحت تزریق یک میلی گرم به ازای هر کیلو گرم وزن بدن حیوان، به صورت درون صفاقی قرار گرفتند (EV+HBV). گروه شم از گروه EV، حلال استرادیول یعنی روغن کنجد و گروه شم از گروه EV+HBV به همان میزان حلال HBV یعنی سالین دریافت کردند. پس از 10 روز موش‌ها را کشته و تخمدان‌ها به منظور مقایسه‌ی مورفولوژیکی و بافتی و بررسی ایمونولوژیک COX-2 برداشت گردیدند. گروه‌های شم در اولین سری آزمون به دلیل عدم تفاوت با گروه کنترل حذف گردید. داده‌های بدست آمده با تست پارامتریک one-way ANOVA آنالیز شدند. نتایج نشان داد که ضخامت لایه‌ی گرانولوزا و غلاف فولیکولی، شمار و اندازه‌ی کیست‌ها در گروه EV+HBV کاهش معناداری نسبت به گروه EV نشان داد. حضور جسم زرد در گروه EV+HBV و نیز کاهش میزان سرمی CRP در این گروه نشان از اثرات

درمانی HBV بر این سندرم داشت. علاوه بر مشاهدات هیستولوژیک و بررسی های هورمون های جنسی در سرم خون، این نتایج با کاهش بیان COX-2 در مکان های اختصاصی بیان COX-2 در تخدمان همخوانی داشت. زهر زنبور عسل دارای اثرات مهاری بر بیان COX-2 در تخدمان بوده و با کاهش بیان COX-2 سبب کاهش لایه های گرانولوزا و غلاف فولیکولی، کاهش علایم التهاب و تعديل هورمون های جنسی می شود و با اعمال تخمک گذاری و تولید جسم زرد سبب بهبود موروفولوژیک، هیستولوژیک و متabolیک تخدمان های پلی کیستیک همراه با التهاب و سوق آن به سمت تخدمان های سالم و فعال می گردد.

کلمات کلیدی: سندرم تخدمان پلی کیستیک، استرادیول ولرات، زهر زنبور عسل، سیکلوakkسیترناز، *C-reactive protein (CRP)*

فهرست مطالب

صفحه	عنوان
۷	مقدمه و کلیات
۸	۱- دستگاه تولید مثلی ماده در پستانداران
۸	۱-۱- بافت شناسی دستگاه تولید مثلی ماده در پستانداران
۸	۱-۲- تکوین دستگاه تولید مثلی ماده پستانداران
۹	۳-۱-۱ فولیکول زایی
۱۲	۴-۱-۱ زمان شناسی فولیکول زایی:
۱۳	۵-۱-۱ تخمک گذاری:
۱۳	۶-۱-۱ تشکیل جسم زرد
۱۵	۲-۱-۱ محور هورمونی هیپوتالاموس- هیپوفیز- تخدمان
۱۵	۱-۲-۱-۱ هورمون آزادکننده ی گنادوتروپین ها
۱۶	۲-۲-۱-۱ گنادوتروپین ها:
۱۶	۱-۲-۲-۱-۱ هورمون محرک فولیکولی
۱۷	۲-۲-۱-۱ لوتروپین
۱۸	۳-۲-۲-۱-۱ آروماتاز
۱۹	۴-۲-۱-۱ رشد و عملکرد فولیکولی در فاز غیر وابسته به کنترل گنادوتروپیک:
۱۹	۵-۲-۱-۱ رشد و عملکرد فولیکولی در فاز وابسته به کنترل گنادوتروپیک:
۲۰	۶-۲-۱-۱ مفهوم «بکارگیری» و «غلیه»:
۲۰	۷-۲-۱-۱ نقش هورمون هیپوفیزی FSH در تکوین فولیکولی:
۲۱	۸-۲-۱-۱ پنجره FSH
۲۲	۹-۲-۱-۱ مدل دو سلول- دو گنادوتروپین :
۲۳	۱۰-۲-۱-۱ فرضیه «سقف» LH

۱۱-۲-۱-۱ نقش هورمون هیپوفیزی LH در تکوین فولیکولی:	۲۴
۱۱-۲-۱-۲ هورمون های تخدمان	۲۵
۱-۲-۱ ناباروری	۳۰
۱-۲-۱ سندروم تخدمان پلی کیستیک:	۳۱
۱-۲-۱ اختلالات تکوین فولیکولی در PCOS:	۳۵
۱-۲-۱ نقش مولکول های چسبندگی سلولی در PCOS	۳۷
۱-۲-۱ چاقی، دیابت ملیتوس، عارضه های قلبی عروقی و PCOS	۳۷
۱-۲-۱ مکانیسم مولکولی پیشنهاد شده برای PCOS	۳۹
۱-۲-۱ فاکتور های ژنتیکی و محیطی موثر در PCOS	۴۰
۱-۳-۱ آنژیم سیکلواکسیژناز	۴۲
۱-۳-۱ آنژیم سیکلواکسیژناز و متابولیت های حاصل از آن:	۴۲
۱-۳-۱ ساختار شیمیایی آنژیم سیکلواکسیژناز ۲:	۴۳
۱-۳-۱ رسپتور های پروستاگلاندین ها:	۴۶
۱-۳-۱ فعالیت های بیولوژیکی پروستاگلاندین های حاصل از آنژیم سیکلواکسیژناز ۲:	۴۷
۱-۴-۱ روش های القای سندروم:	۵۵
۱-۴-۱ استروژن ها:	۵۵
۱-۴-۱ نور مداوم:	۵۶
۱-۴-۱ تستوسترون ها:	۵۶
۱-۴-۱ دهیدروآپی اندرستنه دیون:	۵۷
۱-۴-۱ آنتی پروژسترون ها:	۵۸
۱-۴-۱ استرنس سرما:	۵۸
۱-۴-۱ تخریب سیستم لیمبیک:	۵۸
۱-۴-۱ تخریب آمیگدال:	۵۹

۵۹	۹-۴-۱ پینئالکتومی:
۵۹	۱۰-۴-۱ آنتی آروماتاز ها :
۵۹	۱-۵-۱ زهر زنبور عسل
۶۰	۱-۵-۱ خواص آنزیم های زهر زنبور عسل
۶۱	۲-۵-۱ خواص پپتیدهای زهر زنبور عسل
۶۵	۳-۵-۱ بررسی اثرات درمانی زهر زنبور عسل:.....
۶۵	۱-۳-۵-۱ اثرات ضد درد:.....
۶۶	۱-۳-۵-۱ اثرات ضد توموری:.....
۶۹	۱-۳-۵-۱ اثرات ضد التهابی:.....
۷۱	مواد و روش ها
۷۲	۲-۱ مواد مورد نیاز
۷۳	۲-۲ وسایل مورد نیاز
۷۴	۲-۳ طرح کلی
۷۴	۴-۲ القای سندروم تخدمان پلی کیستیک در رت
۷۴	۴-۲ مراحل مقدماتی: انتخاب رت ها
۷۵	۴-۲-۲ روش تهیه و بررسی اسمیر واژینال
۷۶	۴-۲-۲ روش القای سندروم تخدمان پلی کیستیک در رت
۷۷	۴-۲-۵ روش تیمار حیوانات
۷۷	۴-۲-۵ روش نمونه برداری بافتی
۷۷	۴-۲-۵-۱ روش تشییت نمونه ها
۷۸	۴-۲-۵-۲ مرحله‌ی آبگیری نمونه ها
۷۸	۴-۲-۵-۲ مرحله‌ی شفاف سازی نمونه ها
۷۹	۴-۲-۵-۲ مرحله‌ی نفوذ پارافین به درون نمونه

۷۹	۷-۵-۲ مرحله‌ی قالب گیری نمونه‌ها
۷۹	۸-۵-۲ مرحله‌ی برش برداری قالب‌های پارافینی
۸۰	۹-۵-۲ روش چسباندن برش‌ها بر روی لام
۸۱	۱۰-۵-۲ پارافین زدایی
۸۱	۱۱-۵-۲ خارج نمودن حلال پارافین
۸۱	۱۲-۵-۲ آب دهی
۸۲	۱۳-۵-۲ رنگ آمیزی
۸۳	۲-۶ آنالیز هیستومورفومتریک و هیستومورفولوژیک
۸۴	۷-۲ رنگ آمیزی ایمونوھیستوشیمی
۸۴	۱-۷-۲ پارافین‌زدایی:
۸۴	۲-۷-۲ آبدهی:
۸۴	۳-۷-۲ بلوکه کردن پراکسید هیدروژن:
۸۵	۴-۷-۲ بازیابی آنتیژنی :
۸۵	۵-۷-۲ بلوکه کردن پروتئین‌های غیر اختصاصی:
۸۵	۶-۷-۲ آنتی‌بادی اولیه:
۸۵	۷-۷-۲ آنتی‌بادی ثانویه:
۸۵	۸-۷-۲ محلول استرپتاویدین پروکسیداز:
۸۵	۹-۷-۲ رنگ آمیزی DAB :
۸۶	۱۰-۷-۲ رنگ آمیزی زمینه با هماتوکسیلین:
۸۶	۱۱-۷-۲ لام‌گذاری :
۸۶	۸-۲ آنالیز آماری
۸۷	نتایج
۸۸	۱-۳ نتایج بررسی‌های متابولیک

۱-۱-۳ تغییرات وزن بدن حیوانات گروه تجربی نسبت به گروه کنترل:	۸۸
۲-۱-۳ تغییرات وزن بدن حیوانات گروه تیمار شده با زهر زنبور عسل نسبت به گروه تجربی:	۸۸
۳-۱-۳ تغییرات وزن تخدمان حیوانات گروه تجربی نسبت به گروه کنترل:	۸۹
۴-۱-۳ تغییرات وزن تخدمان گروه تیمار شده با زهر زنبور عسل نسبت به تجربی:	۹۰
۲-۳ تغییرات سیکل استروس و اسمیر واژینال ...	۹۱
۳-۳ بررسی تغییرات CRP	۹۱
۴-۳ بررسی مورفولوژیک تخدمان ها:	۹۲
۱-۴-۳ بررسی و مقایسه ای مورفولوژیک تخدمان های گروه تیمار شده با استرادیول ولرات و گروه کنترل:	۹۲
۲-۴-۳ بررسی و مقایسه ای مورفولوژیک تخدمان های گروه پلی کیستیک تیمار شده با زهر زنبور عسل و گروه PCOS:	۹۴
۵-۳ بررسی و مقایسه ای میزان هورمون های استرادیول و پروژسترون و تستوسترون در گروه های کنترل و تجربی و تیمار شده با زهر زنبور عسل:	۱۰۰
۶-۳ بررسی نتایج مورفومتریک	۱۰۲
۱-۶-۳ نتایج مورفومتریک قطر لایه ای گرانولوزا در گروه های فولیکولی مختلف در حیوانات گروه پلی کیستیک و گروه کنترل:	۱۰۲
۲-۶-۳ نتایج مورفومتریک قطر لایه ای گرانولوزا در گروه های فولیکولی مختلف در حیوانات تیمار شده با زهر زنبور عسل و گروه پلی کیستیک :	۱۰۳
۳-۶-۳ نتایج مورفومتریک قطر کمپلکس اووسیت- کومولوس در حیوانات گروه پلی کیستیک و گروه کنترل: ..	۱۰۴
۴-۶-۳ نتایج مورفومتریک قطر کمپلکس اووسیت- کومولوس در حیوانات گروه تیمار شده با زهر زنبور عسل و گروه پلی کیستیک:	۱۰۵
۵-۶-۳ نتایج مورفومتریک قطر لایه غلاف فولیکولی در گروه تجربی و گروه کنترل:.....	۱۰۶
۶-۶-۳ نتایج مورفومتریک قطر لایه غلاف فولیکولی در گروه تیمار شده با زهر زنبور عسل و گروه تجربی:.....	۱۰۶
۷-۳ نتایج ایمونوهیستوشیمی	۱۰۷
۸-۳ ایمونولوکالیزاسیون COX-2 در تخدمان گروه های کنترل و PCOS و تیمار شده با زهر زنبور عسل: ..	۱۰۷

۱۱۰	بحث
۱۱۱	۱-۴ بیماری زایی آنژیم سیکلواکسیژناز ۲ در اثر بیان غیر طبیعی و افزایش فعالیت متابولیت های حاصل از آن:.
۱۱۸	۲-۴ ارتباط التهاب و PCOS به عنوان یک اختلال متابولیک
۱۲۴	۳-۴ مکانیسم های اثرات ضد التهابی زهر و تاثیرات آن در بیان COX:
۱۲۴	۴-۵ مکانیسم پیشنهادی در این بررسی:
۱۲۸	۶-۴ تغییرات میزان گنادوتروپین ها و متابولیت های COX-2
۱۳۱	پیشنهادات:
۱۳۲	منابع

بخش اول

مقدمه و کلیات

۱-۱ دستگاه تولید مثلی ماده در پستانداران

۱-۱-۱ بافت شناسی دستگاه تولید مثلی ماده در پستانداران

دستگاه تولید مثلی ماده شامل یک جفت تخدمان و لوله‌ی تخمک بر^۱، رحم و واژن می‌باشد. تخدمان‌ها به تعداد دو عدد، بادامی شکل و به صورت قرینه در قسمت قدامی کلیه‌ها قرار داشته و بوسیله‌ی رباطی به عضلات ناحیه‌ی کمری متصل هستند. سطح تخدمان‌ها به علت وجود فولیکول‌ها برجسته به نظر می‌رسد. تخدمان بالغ دارای پوشش مکعبی ساده است. اطراف تخدمان توسط یک لایه‌ی ابی تلیالی ژرمینال سنگفرشی یا مکعبی از جنس بافت پیوندی متراکم بنام توئینیکا آلبوزینه^۲ محاط می‌شود. ناحیه هیلوس^۳ تخدمان را با اوویداکت مربوط می‌کند (Jonquiere, 2005). (شکل الف).

۱-۱-۲ تکوین دستگاه تولید مثلی ماده پستانداران

غدد تناسلی در مهره داران از حاشیه‌ی بالایی لایه‌ی احشایی^۴ صفحه‌ی مزودرم جانبی^۵، از مزودرم حدوداً^۶ در موقعیت نیمه‌ی خلفی بدن جنین به صورت قرینه تشکیل می‌گردد. اولین پیش فرم غدد تناسلی به صورت دو نوار طولی و ضخیم شده از بافت پوششی مزودرمی حفره‌ی بدن درست در کنار روده بند پشتی مقابل هم دیگر به وجود می‌آیند. تخدمان‌ها از نظر منشا فرقی با بیضه‌ها ندارند و هر دو از سلول‌های جنسی اولیه و مشتقات مزودرمی‌اند. در جوندگان سلول‌های جنسی اولیه مشتق از اندودرم کیسه زرده در E11 وارد این نوار‌های تناسلی^۷ می‌شوند و به صورت اووگونی در می‌آیند که به صورت مجموعه‌هایی جمع شده و در قشر تخدمان تجمع پیدا می‌کنند. نوار‌های تناسلی با ورود این سلول‌ها به لایه‌ی پوششی خود غدد تناسلی را بوجود می‌آورند. در رت تخدمان‌ها از روز E16 قابل تشخیص هستند.

¹ Oviduct

² Tunica Alboginea

³ Hilus

⁴ Splanchnopleura

⁵ Lateral Mesodermal Plate

⁶ Intermediat Mesoderm

⁷ Genital Ridges

سلول های جنسی اولیه به سرعت شروع به تکثیر می کنند به طوریکه در روز ۱۸.۵ E18.5 تعداد انها به ۸۵۰۰۰ عدد می رسد. تشخیص بافت تخدمان و اووسیت ها تنها پس از پایان فعالیت میتوتیک اووگونی هامکان پذیر است. سلول های جنسی اولیه با توقف میتوز و ورود انها به دیپلوتن میوز تمایز می یابند. در روز E17 همه می سلول های جنسی وارد میوز شده اند. این مجموعه های اووگونی لانه تخمکی نام دارند. تعدادی از سلول های سازنده لانه تخمکی از بین می روند و بقیه ای آنها به تدریج از لانه های تخمکی آزاد می شوند و به مرور اطراف این سلول ها را یک ردیف سلول های فولیکولی می پوشاند. با تجمع سلول های فولیکولی در پیرامون آنها، این سلول ها اووسیت اولیه نامیده می شوند(پریور، ۱۹۹۸Cappellen & van ; ۱۳۸۳).

۱-۱-۳ فولیکول زایی^۱

تکوین فولیکولی در جوندگان بسیار مشابه انسان است. در زمان تولد تخدمان موش صحرایی حاوی طناب های جنسی و اووگونی هاست. فولیکول های آغازین در روز سوم بعد از تولد شکل می گیرند و در طول ۳ هفته بعدی موج نخست تکوین فولیکول های بدی به فولیکول های آنترال صورت می گیرد. فولیکول های ثانویه در روز هفتم در تخدمان قابل مشاهده می باشد. بلوغ یا اولین استروس^۲ در حدود روز ۳۴ بعد از تولد اتفاق می افتد. رت های ماده ۱۱۴ الی ۲۸ ساعت پس از زایمان می توانند به مرحله بحران جنسی یا حرارت جنسی^۳ وارد شود. به این حالت اصطلاحاً postpartum می گویند و در حال شیردهی و نگهداری از زاده های خود توانایی بارداری را دارند. در هر بار زایمان تعداد زاده ها در رت نژاد ویستار ۱۰ تا ۱۲ سر است و با افزایش سن این تعداد کاهش می یابد. در ساعت ۲ تا ۴ صبح روز استروس تخمک گذاری رخ داده و در ساعت حدود ۱۰ صبح عالیم آن روز قابل رویت است. بعد از عمل جفت گیری ماده ای واکسی و سفید رنگ بنام پلاک جفت گیری^۴ به مدت ۱۲ تا ۲۴ ساعت قابل رویت است. بعد از اولین تخمک گذاری سیکل های تخدمانی آغاز می شوند. در رت های نژاد ویستار و آمستردام اولین سیکل ها ۷ الی ۸ روز طول می کشد. چرخه استروس طبیعی تا حدود ۱۰ تا ۱۲ ماهگی ادامه می یابد و بعد از آن سیکل ها نامنظم و طولانی می شود. از

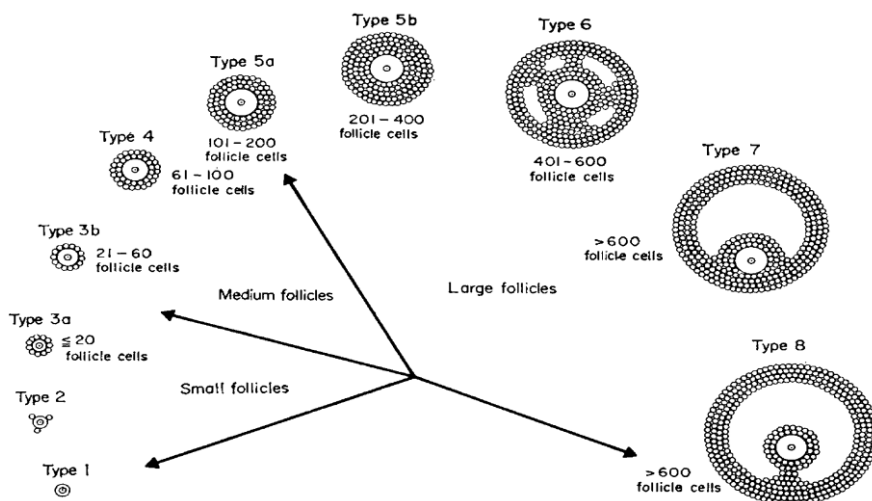
¹ Folliculogenesis

² estrous

³ Sex Heat

⁴ Coupulatory Plug

۱۲ الی ۱۵ ماهگی به بعد وارد استرووس پایدار می شوند و به دنبال آن مرحله دی استرووس مزمن و نهایتاً پایان استرووس و ایجاد حالت رخ می دهد (McGee et al, 2000). زمانیکه سیکل تخدمانی در رت ها در سن یک سالگی متوقف می شود تعداد ۸۰۰ فولیکول (۱۳٪ تعداد کل انها در زمان اولین تخمک گذاری) متحمل تخمک گذاری شده و بقیه دچار آترزی شده اند. فولیکول های بدوى^۱ با قطر ۱۷ تا ۲۰ میکرومتر و دو یا سه لایه سلول های فولیکولی سنگفرشی پهن در بخش کورتکس قابل مشاهده اند. هر کدام دارای یک اووسیت اولیه با قطر ۱۱ تا ۱۵ میکرومتر هستند که در مرحله ی پروفاز میتوز متوقف شده اند. گاه فولیکول های مراحل گذار، دارای هر دو نوع سلول سنگفرشی و مکعبی هستند. غشای پایه یا غشای Slavjansky در این فولیکول ها قابل رویت است که از جنس کلاژن^۲ و لامینین و فیرونکتین است. قطر فولیکول متأثر از قطر اووسیت است. بزرگترین فولیکول ها در این مرحله دارای ۲۹-۲۵ سلول گرانولوزا و اووسیتی به قطر ۲۸.۵ میکرومتر هستند. تعداد محدودی از فولیکول های اولیه که با سلول های استرومایی



شکل ۱-۱: در رت فولیکول های تخدمانی به سه دسته‌ی تقسیم می شوند: کوچک، متوسط و بزرگ. این تقسیم بندی بر اساس تعداد لایه های سلول های گرانولوزای اطراف اووسیت در بزرگترین برش از هر فولیکول حاصل می شود (Torben Pedersen And Hannah Peters, 1968).

مثل سلول های تک تمایز نیافته^۲ احاطه شده اند، قابل مشاهده اند. برخی از فولیکول های اولیه را می توان با مشاهده ی سلول های گرانولوزای در حال تکثیرشان تشخیص داد. فولیکول های ثانویه یا پیش آنترال^۳ دارای اووسیت هستند که

¹ Primordial follicles

² Interstitial Cells

³ Preantral Follicle Or Secondary Follicle

هسته ای مرکزی و ژرمنیال وزیکول(GV)^۱ و تعداد زیادی هستک دارد. اندازه ای اووسیت با تغییر اندازه ای فولیکول ثابت باقی می ماند. در فولیکول های کوچک تر ضخامت لایه ای گرانولوزا^۲ الی ^۳ لایه است. زوناپلوسیدا در این عده فولیکول ها به وضوح قابل رویت است. سلولهای گرانولوزا شدیداً فعالیت میتواند از خود بروز می دهد که نشانه ای تشخیصی آنها محسوب می شود. لذا در نهایت یک اپیتلیوم مطبق ^۲ الی ^{۱۲} لایه ساخته می شود. زمانی که این لایه دارای ^۶ الی ^{۱۲} لایه سلول و قطر ^{۲۲۵} میکرومتر دارد، لایه ای تک داخلی^۳ و آنتروم شروع به تشکیل می کند. سلول های تک خارجی^۴ مسطح تر بوده و به صورت متحدمالمرکز درون شبکه ای از فیبرهای پیوندی قرار گرفته و عروقی اند. بزرگترین فولیکول های پیش آنترال سالم وارد مرحله ای آنترال کوچک اولیه می شوند، سایزشان با تکثیر سلول ها و به هم پیوستن نهایی آنتروم بزرگتر شده و مورفولوژی فولیکول تغییر بارزی می یابد. قطر اووسیت به ^{۷۰} میکرومتر می رسد. سلول های گرانولوزای محیط اووسیت به هم بسیار نزدیک شده و توده ای تخمکی^۵ را تشکیل می دهد. بقیه ای سلول های گرانولوزا که به غشای پایه نزدیک تر هستند سلول های گرانولوزای دیواره ای^۶ را می سازند. فولیکول های آنترال سالم در مراحل پایانی به قطر ^{۵۰۰} میکرومتر می رسند. اووسیت در وسط قرار دارد ولی GV به کناری رفته اند. سلول های گرانولوزای احاطه کننده ای اووسیت تشکیل حلقه ای به نام کرونا رادیاتا می کنند (Boubekri et al., 2007). فولیکول های در آستانه ای تخمک گذاری در مرحله ای استروس حجم زیادی از کورتکس را اشغال می کنند و به سطح آزاد گناد نزدیک تر می شوند. دارای اووسیت ثانویه اند که نشانه ای متافاز میوز دوم است. کمپلکس اووسیت – کومولوس(COC)^۷ ناحیه ای ضخیمی برآمده به سمت آنتروم می سازد. اتصالات گرانولوزا ها با هم کاهش یافته و غشای پایه ای فولیکولی در حال محو شدن است و عروق خونی به صورت عمیق تری وارد لایه تک شده اند. در سطح تخدمان این ناحیه مسطح می شود و اپیتلیوم ژرمنیال آن سنگفرشی شده و اوولاسیون رخ می دهد. در رت ها هر ^۵ روز این اتفاق می افتد. در این زمان میتوان COC را در اوویداکت یافت. سلول های فولیکولی دیواره ای و نیز سلول های تک در تخدمان باقی مانده و تشکیل جسم زرد می دهد. در جسم زرد سلول های گرانولوزا برای اولین بار در تماس با

¹ Germinal Vesicle

² Thecal Interna

³ Theca Externa

⁴ Cumulus Oophorus

⁵ Mural

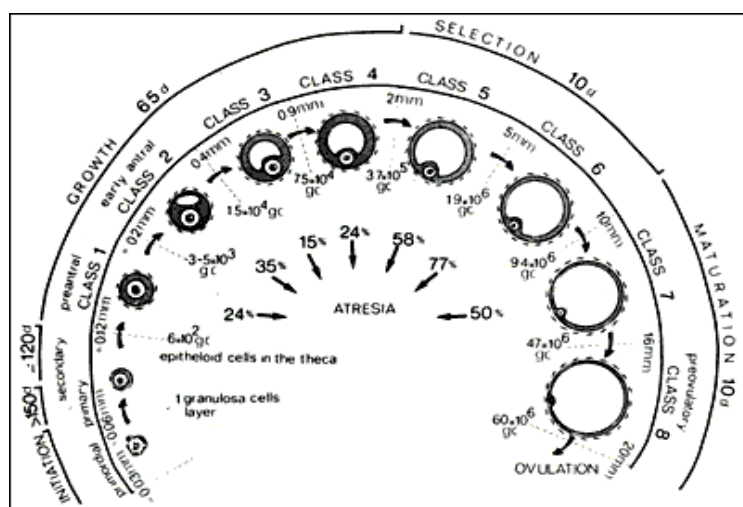
⁶ COC= Cumulus-Oocyte Complex

عروق خونی قرار می گیرند. در فولیکول هایی که دچار آترزی می شوند سلول های پیکنوتیک در لایه‌ی گرانولوزا قابل رویت است. پس از آن اووسیت را به انحطاط گذاشته و GV حذف شده و لایه‌ی گرانولوزا چروکیده می گردد. در مراحل بعد اووسیت را به تکه شدن می گذارد. کل مرحله‌ی آترزی در حیوانات کوچکی مانند رت ۳-۵ روز است.(., 1998Cappellen & van

در انسان نیز فولیکول زایی در کورتکس تخمدان رخ داده و شامل چهار مرحله‌ی بکارگیری فولیکول های بدبوی از مخزن فولیکولی، رشد و نمو فولیکول پره آنترال، انتخاب و رشد فولیکول غالب و آترزی فولیکول است و با اوولاسیون و یا آترزی به پایان می رسد. فولیکول های آنتروم دار که بعد از بلوغ تشکیل می شوند و همه‌ی آنها بی که قبل از بلوغ بوجود آمده بودند در مراحل رشد و نمو خود دچار آترزی می شوند. فولیکول زایی در انسان پروسه‌ی زمان بری است یک سال نیاز است تا یک فولیکول بدبوی به مرحله تخمک گذاری برسد(Williams & Erickson, 2008).

۱-۱-۴ زمان شناسی فولیکول زایی:

در فولیکول زایی دو مرحله‌ی قابل تفکیک مشاهده می شود: فاز مستقل از گنادوتروپین‌ها و وابسته به گنادوتروپین‌ها.



شکل ۲-۱: زمان بندی فولیکول زایی طبیعی در انسان. کلاس ۱: فاز پیش آنترال یا فاز مستقل از گنادوتروپین‌ها که با رشد و تمایز اووسیت همراه است و بواسطه‌ی مکانیسم‌های اتوکرین و پاراکرین تنظیم می شود. کلاس ۳-۸: فاز آنترال یا وابسته به گنادوتروپین‌ها که با رشد و افزایش سایز کل فولیکول تا حدود ۲۵ الی ۳۰ میلیمتر همراه است و با مکانیسم‌های اتوکرین و پاراکرین و همچنین با اثر هورمون‌های LH^۱ و FSH کنترل می شود، شامل فولیکول های آنترال کوچک، متوسط، بزرگ، و فولیکول بزرگ پیش اووله است. در کلاس ۵ فولیکول غالب انتخاب می شود(Williams & Erickson, 2008).

^۱ Follicle Stimulation Hormone

۱-۱-۵ تخمک گذاری^۱:

در انسان 14 ± 1 روز پس از آغاز یک سیکل منظم ۲۸ روزه فولیکول پیش از اوله، تخمک بالغ خود را به همراه سلول های کومولوس اطرافش آزاد می نماید، به این عمل که بخشی از آن به علت افزایش ناگهانی حجم مایع آنتروم است تخمک گذاری اطلاق می شود که نیازمند مجموعه ای از سیستم های اندوکرین و سیگنال های ایمنی و فاکتور های پاراکرین خارج تخدمانی بوده و همه ای سلول های فولیکول پیش از اوله آمادگی پاسخگویی به این سیگنال ها را دارند. فولیکول گراف در آخرین ساعت به سرعت وسیع گردیده در سطح تخدمان به شکل یک تاول برجسته می گردد. در محل برجستگی سطح تخدمان کشیده و نازک می شود. در قله این تاول یک نقطه بدون رگ خونی و روشن به نام خال^۲ قابل ملاحظه است. هنگامی که بزرگی تاول به حد نهایی خود رسید جدار تخدمان در محل خال می ترکد. اما به نظر نمی رسد تنها فشار داخل فولیکول سبب این گسستگی شود بلکه هورمون LH و پروستاگلاندین ها در این امر دخیل اند. در زمان اولین تخمک گذاری رت حدود ۶۰۰۰ فولیکول در تخدمان وجود دارد. این تعداد در انسان ۴۰۰۰۰۰ است. رت ها در هر ۴ الی ۵ روز سیکل خود حدود ۱۲ عدد اووسیت از هر دو تخدمان آزاد می کند در حالیکه در انسان فقط یک تخدمان در هر ماه تخمک گذاری انجام می دهد (پریور، ۱۳۸۳؛ Boubekri et al., 2007).

۱-۱-۶ تشکیل جسم زرد^۳

پس از تخمک گذاری دیواره ای فولیکولی به سمت تشکیل جسم زرد سوق می یابد که یک غده اندوکرین ترشح کننده ای پروژسترون و استرادیول می باشد. تحلیل رفتن غشای پایه که سلول های گرانولوزا را از غلاف فولیکولی جدا می کند، تشکیل کلات های فیرین درون آنتروم، سیست شدن بافت پیوندی و هجوم سلول های خونی در این مرحله مشاهده می شود. سلول های سازنده ای جسم زرد عبارتند از سلول های گرانولوزا و تک داخلي و خارجي و سلول های خونی. سلول های گرانولوزای لوئینی شده یا "بزرگ"^۴ و سلول های غلاف فولیکولی لوئینی شده یا "کوچک"^۵ دو جمعیت متمایز از سلول ها در جسم زرد انسان را تشکیل می دهند. سلول های گرانولوزا پس از تخمک گذاری دارای

¹ Ovulation

² Stigma

³ Luteinization

سایزهای بزرگی در حد ۳۵ مایکرومتر می شوند که در این مرحله سلول های گرانولوزایی - زرده ای^۱ نام می گیرند.

این سلول های بزرگ پس از تحریک ابتدایی توسط LH بطور مداوم پروژسترون ترشح می کنند و ۱۰ روز بعد تحلیل

می روند. سلول های کوچک به تنها یی مسئول تولید پروژسترون پس از ۱۰ روز فاز لوتال و طی حاملگی می باشند(صفدریان، ۱۳۸۳).

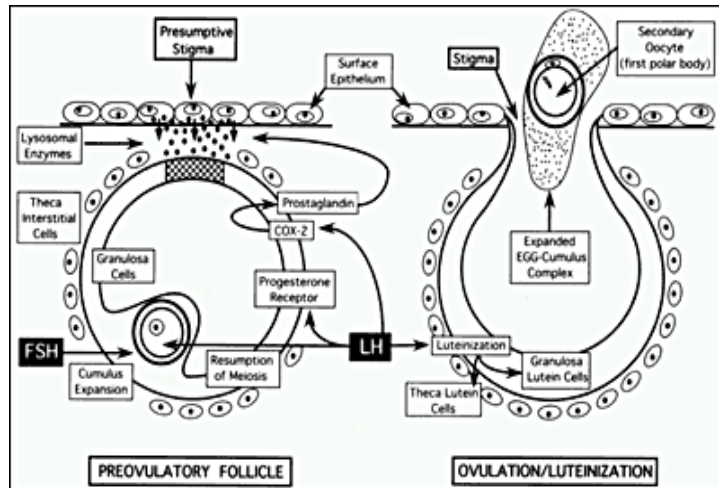
این سلول ها حاوی میزان بالایی از شبکه ای اندوپلاسمی صاف و میتوکندری های با تیغه ها

توبولار و کلاستر های بزرگی از چربی و زرد رنگ اند که دارای کلاسترها کلسترونی در سیتوپلاسم اند. در سلول

های این مرحله بیان بالایی از StAR^۲ و P_{450SCC}^۳ و P_{450AROM}^۴ وجود دارد که توانایی ساخت پروژسترون و استرادیول

را به سلول ها می دهد. LH برای حفظ توانایی ساخت استروئیدها در این سلول ها نیاز است (Williams &

.(Erickson, 2008



شکل ۱-۳: مکانیسم های سلولی تخمک گذاری بواسطه ای افزایش میزان هورمون های LH و FSH در فاز پیش از تخمک گذاری. متابولیت های حاصل از COX-2 به عنوان لیگاندهای رپتور PPAR عمل کرده و سبب القای اندوتلین^۲ و ایترولوکین^۶ و پروتئین کیناز^۲ وابسته به cGMP میشود که حضورشان برای تخمک گذاری الزامی است.(Williams & Erickson, 2008)

¹ Luteogranulosa

² Steroidogenic Acute Regulatory Protein

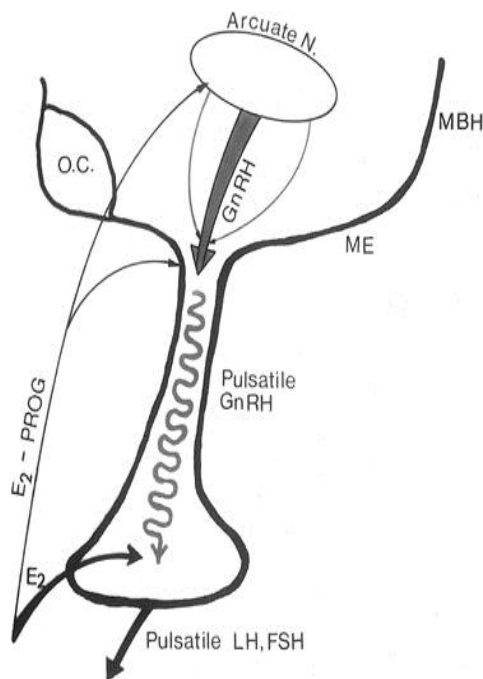
³ P450 Side Chain Cleavage

⁴ P450 Aromatase

۱-۱-۲ محور هورمونی هیپوتالاموس-هیپوفیز-تخدمان^۱

۱-۱-۲-۱ هورمون آزادکننده گنادوتروپین ها^۲

هورمون آزادکننده گنادوتروپین ها هورمون هیپوتالاموسی تنظیم کننده عملکرد تولید مثل است. اولین بار این هورمون در سال ۱۹۷۱ توسط Schally و Guillemin کشف شد. یک دکاپتید است که همانند چندین پپتید دیگر مغز به صورت بخشی از یک پپتید پیش ساز بزرگ به نام پپتید مرتبط با GnRH با ۵۶ اسید آمینه ساخته می شود. ساختمان آن در تمامی پستانداران و در هر دو جنس یکسان است. ادامه ترشح گنادوتروپین ها به تماس هیپوفیز با الگوی نوسانی ترشح GnRH نیازمند است. تولید نوسانی GnRH همزمان با فعالیت الکتریکی در هسته ای قوسی مغز رخ می دهد که اصطلاحاً ژنراتور مولد GnRH نامیده می شود (Schally et al. 1971).



شکل ۱-۴: در پریمات ها ژنراتور پالس GnRH درون هسته های قوسی هیپوتالاموس مکان یابی شده است. پالس های GnRH به سیاهرگ های پورتال هیپوفیزی که GnRH را به هیپوفیز به منظور تحریک پالسی LH و FSH منتقل می کند. این گنادوتروپین ها فولیکول زایی و ترشح استروئید و پیتیدرژیک را از تخدمان ها تحریک می کنند. فعالیت GnRH و LH و FSH توسط هورمون های تخدمانی مانند استرادیول و پروژسترون کنترل می شود..(Schally et al. 1971). MBH, Mediobasal Hypothalamus; ME, Median Eminence

¹ hypothalamic-pituitary-gonadal axis = HPG axis

² Gonadotrophin Releasing Hormone=GnRH

۱-۱-۲-۲ گنادوتروپین ها:

LH و FSH دو هورمون هیپوفیز قدامی اند که عملکرد گنادها را کنترل می کنند. هر دو هورمون به وسیلهٔ سلول های یکسان در هیپوفیز ساخته و ترشح می شوند. ثابت شده است که فقط یک هورمون هیپوتالاموسی (یعنی GnRH) بر هر دو هورمون اثر می کند. هر هورمون حاوی دو زنجیره است. ساختار زنجیرهٔ آلفا در تمام گلیکوپروتئین های هیپوفیز مشابه است ولی منحصر به فرد بوده و پس از اتصال به زنجیرهٔ آلفا، عملکرد هورمونی اختصاصی را تعیین می کند. گنادوتروپین ها گلیکوپروتئین هایی با وزن مولکولی ۳۰۰۰۰ دالتون هستند و فوروکتوز، مانوز، گالاكتوز، استیل گلوکز آمین و N استیل نورآمینیک اسید بخش هیدروکربنی آنها را می سازد. تعداد اسید سیالیک در هورمون های گلیکوپروتئینی بسیار متنوع است (۲۰ عدد در HCG، ۵ عدد در FSH و فقط یک یا دو عدد در هورمون لوئینی کنندهٔ انسانی (hLH)). این تفاوت ها عامل اصلی تنوع در نقاط ایزووالکتریک گنادوتروپین است که موجب تفاوت در وزن مولکولی و فعالیت بیولوژیک هورمون ها می باشد. هر چه محتوای اسید سیالیک هورمون بیشتر باشد نیمه عمر بیولوژیک هورمون بیشتر است و لذانیمه عمر گنادوتروپین های ادراری بیشتر از هیپوفیزی (صفدریان، ۱۳۸۳).

۱-۱-۲-۲-۱ هورمون محرک فولیکولی

یک پروتئین گلیکوزیله با وزن مولکولی ۲۸۰۰۰ تا ۳۰۰۰۰ دالتون است؛ زنجیرهٔ آلفا حاوی ۹۲ اسید آمینه با وزن مولکولی ۱۴۶۰۰ دالتون و پنج پیوند دی سولفیدی است. زنجیرهٔ آلفا شش پیوند دی سولفیدی است. همانند زنجیرهٔ آلفا، اولیگوساکاریدها از انتهای آمینی به دو مولکول آسپارژین متصل اند. نیمه عمر این هورمون از ۹۵ تا ۲۵۰ دقیقه و برابر با ۵ برابر نیمه عمر LH است. در تخدمان به گیرندهٔ های واقع بر سلول های گرانولوزا متصل شده و از طریق مسیر پروتئین کیناز واپس به cAMP عمل می کند. اتصال آن سبب افزایش رشد سلول های گرانولوزای فولیکول اولیه می شود. همچنین در رشد تخمک های پیش اوله موثر است. اتصال آن به فولیکول های آنترال و پیش اوله فعالیت آروماتاز ها را افزایش می دهد که این عمل پس از تحریک LH و افزایش فعالیت ۱۷a-hydroxylare mRNA ای رخ می دهد که تولید آنдрوجن ها را افزایش می دهد. آندرژن ها به cytochrome P450